

## DAFTAR PUSTAKA

- Chan, M. V., Armstrong, P. C., & Warner, T. D. (2018). 96-Well Plate-Based Aggregometry. *Platelets*, 29(7), 650–655.  
<https://doi.org/10.1080/09537104.2018.1445838>
- Chellappan, D. K., Chellian, J., Leong, J. Q., & Liaw, Y. Y. (2020). *Biological and therapeutic potential of the edible brown marine seaweed Padina australis and their pharmacological mechanisms*. July, 251–271.
- Copper, R., & Nicola, G. (2014). Natural Products Chemistry: Sources, Separations, and Structures 1e. In *CRC Press*.
- Duncan, A., & Patel, S. (2017). The blood. *Handbook of Clinical Anaesthesia, Fourth Edition*, 11(10), 197–223. <https://doi.org/10.1201/9781315164533>
- Faggio, C., Sureda, A., Morabito, S., Sanches-Silva, A., Mocan, A., Nabavi, S. F., & Nabavi, S. M. (2017). Flavonoids and platelet aggregation: A brief review. *European Journal of Pharmacology*, 807(April), 91–101.  
<https://doi.org/10.1016/j.ejphar.2017.04.009>
- Fried, B., & Sherma, J. (2017). *Practical Thin Layer Chromatography: a Multidisciplinary Approach*. CRC Press.
- Gardiner, E., Arthur, J., & Andrews, R. (2014). Targeting GPVI as a novel antithrombotic strategy. *Journal of Blood Medicine*, 59.  
<https://doi.org/10.2147/jbm.s39220>
- Hahn-deinstrop, E. (2007). Applied thin-layer chromatography: best practice and avoidance of mistakes. In *Choice Reviews Online* (second edi, Vol. 44, Issue 10). WILEY-VCH Verlag GmbH&Co. KGaA.  
<https://doi.org/10.5860/choice.44-5656>

- Hall, J. E. (2016). Guyton and HallTextbook of Medical Physiology. In *Elsevier* (13th Editi, Vol. 1). Elsevier. <https://doi.org/10.1016/b978-0-12-800883-6.00072-0>
- Hall, R., & Mazer, C. D. (2011). Antiplatelet drugs: A review of their pharmacology and management in the perioperative period. *Anesthesia and Analgesia*, 112(2), 292–318.  
<https://doi.org/10.1213/ANE.0b013e318203f38d>
- Handayani, N. A., & Zuhrotun, A. (2013). Padina australis dan Potensinya Sebagai Obat Herbal Antikanker, Antibakteri dan Antioksidan. *Farmaka*, 15(2), 1–15.
- Harborne, J. B. (1984). *Phytochemical Methods : A Guide to Modern Techniques of Plant Analysis*. second ed., Chapman and Hall, New York, USA. In *Chapmer and Hall*.
- Haryani, T. S., & Lohitasari, B. (2019). *Toxicity and Compound Identification of Padinaaustralis Extract*. 2, 79–82. <https://doi.org/10.35940/ijrte>.
- Hasanuddin, & Mulyadi. (2014). *Botani Tumbuhan Rendah* (1st ed.). Syiah Kuala University Press.
- Hoseinzadegan, H., & Tafti, D. (2017). Mechanisms of platelet adhesion and aggregation: An update. *Austin Publishing Group*, 27(4), 124-126+129.
- Hvas, A. M., & Favaloro, E. J. (2017). Platelet function analyzed by light transmission aggregometry. In *Methods in Molecular Biology* (Vol. 1646, pp. 321–331). Springer Science. [https://doi.org/10.1007/978-1-4939-7196-1\\_25](https://doi.org/10.1007/978-1-4939-7196-1_25)
- Inayah, P. W. (2015). *Uji Aktivitas Antiplatelet, Antikoagulan, dan Trombolisis Ekstrak Etanol Daun Belimbing Wuluh (Averrhoa bilimbi L) Secara In*

- Vitro* [Universitas Jember].  
<http://repository.unej.ac.id/bitstream/handle/123456789/65672/AinulLatifah-101810401034.pdf?sequence=1>
- Katzung, B. G. (2018). Basic & Clinical Pharmacology, Fourteenth Edition. In *Basic and Clinical Pharmacology*.
- Latifah, L. A., Soekamto, N. H., & Tahir, A. (2019). Preliminary study: Padina australis Hauck's antibacterial activity and phytochemical test against pathogenic shrimp bacteria. *Journal of Physics: Conference Series*, 1341(2). <https://doi.org/10.1088/1742-6596/1341/2/022005>
- Luceri, C., Giannini, L., Lodovici, M., Antonucci, E., Abbate, R., Masini, E., & Dolara, P. (2007). p-Coumaric acid, a common dietary phenol, inhibits platelet activity in vitro and in vivo. *British Journal of Nutrition*, 97(3), 458–463. <https://doi.org/10.1017/S0007114507657882>
- Maharany, F., Nurjanah, Suwandi, R., Anwar, E., & Hidayat, T. (2017). Kandungan Senyawa Bioaktif Rumput Laut Padina australis dan Eucheuma cottonii Sebagai Bahan Baku Krim Tabir Surya. *Jurnal Masyarakat Pengolahan Hasil Perikanan Indonesia*, 20(1), 10–17.
- Maiti, Bidinger, Dewi, R. S., Made, N. I., Sandhiutami, D. W. I., Raharjo, S., Bima, Olofin, O., Duncan, A., Patel, S., Points, K., Terms, K., Jaswir, I., Noviendri, D., Salleh, H. M., Taher, M., Miyashita, K., Katzung, B. G., Leech, D. G., ... WHO. (2017). Cardiovascular Disease's (CVDs). *World Health Organization*, 7(1), 535–540. [https://doi.org/10.1016/0020-711X\(76\)90071-9](https://doi.org/10.1016/0020-711X(76)90071-9)
- Makkar, H. P. ., Sidhuraju, P., & Becker, K. (2007). Plant Secondary Metabolites. In *Humana Press*. <https://doi.org/10.1016/B0-12-369400-0/00757-2>
- Meikle, C. K. S., Kelly, C. A., Garg, P., Wuescher, L. M., Ali, R. A., & Worth,

- R. G. (2017). Cancer and thrombosis: The platelet perspective. *Frontiers in Cell and Developmental Biology*, 4(JAN), 1–10.  
<https://doi.org/10.3389/fcell.2016.00147>
- Michelson, A. D. (2011). Advances in antiplatelet therapy. *Hematology / the Education Program of the American Society of Hematology. American Society of Hematology. Education Program*, 2011(January), 62–69.  
<https://doi.org/10.1182/asheducation-2011.1.62>
- Mukhtarini. (2011). Ekstraksi, pemisahan senyawa, dan identifikasi senyawa aktif. *Jurnal of Pharmacy*, V, 361.
- Paniccia, R., Priora, R., Liotta, A. A., & Abbate, R. (2015). Platelet Function tests: A Comparative Review. *Vascular Health and Risk Management*, 11, 133–148. <https://doi.org/10.2147/VHRM.S44469>
- Pearce, S., Maingard, J. T., Li, K., Kok, H. K., Barras, C. D., Russell, J. H., Hirsch, J. A., Chandra, R. V., Jhamb, A., Thijs, V., Brooks, M., & Asadi, H. (2020). Antiplatelet Drugs for Neurointerventions: Part 1 Clinical Pharmacology. *Clinical Neuroradiology*, 30(3), 425–433.  
<https://doi.org/10.1007/s00062-020-00910-5>
- Rachmawati, F., Nuria, M. C., & Sumantri. (2011). UJI AKTIVITAS ANTIBAKTERI FRAKSI KLOROFORM EKSTRAK ETANOL PEGAGAN (Centella asiatica (L) Urb) SERTA IDENTIFIKASI SENYAWA AKTIFNYA. *E-Publikasi Fakultas Farmasi*, L, 7–13.
- Rumbaut, R. E., & Thiagarajan, P. (2010). Platelet-Vessel Wall Interactions in Hemostasis and Thrombosis. In *Colloquium Series on Integrated Systems Physiology: From Molecule to Function* (Vol. 2, Issue 1).  
<https://doi.org/10.4199/c00007ed1v01y201002isp004>
- Said, D. (2019). *Identifikasi Senyawa Kimia yang Terdapat dalam Kulit Batang Bagore Caesalpinia crista*. L. Universitas Hasanuddin.

- Salamah, N., & Widyasari, E. (2018). *Aktivitas Antioksidan Ekstrak Metanol Daun Kelengkeng (Euphoria Longan (L) Steud.) Dengan Metode Penangkapan Radikal Antioxidant Activity Of Methanolic Extract Of Longan (Euphoria Longan (L) Steud.) Leaves Using 2,2'-Diphenyl-1-Picrylhydrazyl*. L, 25–34.
- Salosso, Y., Aisiah, S., Toruan, L. N. L., & Pasaribu, W. (2020). Nutrient content, active compound, and antibacterial activity of padina australis against aeromonas hydropilla. *Pharmacognosy Journal*, 12(4), 771–776. <https://doi.org/10.5530/pj.2020.12.110>
- Shiney, E., & Nadu, T. (2014). Bioactive Compounds Identification From Marine Macro Algae Padina. *International Journal of Pharmaceutical Sciences and Research*, 5(8), 3353–3357. [https://doi.org/10.13040/IJPSR.0975-8232.5\(8\).3353-57](https://doi.org/10.13040/IJPSR.0975-8232.5(8).3353-57)
- Subagio, & Kasim, M. S. H. K. (2019). Identifikasi Rumput Laut (Seaweed) di Perairan Pantai Cemara, Jerowaru Lombok Timur Sebagai Bahan Informasi Keanekaragaman Hayati Bagi Masyarakat. *Jurnal Ilmu Sosial Dan Pendidikan*, 3(1), 308–321. <https://www.bps.go.id/dynamictable/2018/05/18/1337/persentase-panjang-jalan-tol-yang-beroperasi-menurut-operatornya-2014.html>
- Suhendi, A., Sjahid, R., & Hanwar, D. (2011). ISOLASI DAN IDENTIFIKASI FLAVONOID DARI DAUN DEWANDARU (*Eugenia uniflora* L.) ISOLATION AND IDENTIFICATION OF FLAVONOIDS FROM DEWANDARU (*Eugenia uniflora* L.) LEAF. 73 *Pharmacon*, 12(2), 73–81.
- Tsai, T. T., Ho, P. M., Xu, S., Powers, J. D., Carroll, N. M., Shetterly, S. M., Maddox, T. M., Rumsfeld, J. S., Margolis, K., Go, A. S., & Magid, D. J. (2010). Increased risk of bleeding in patients on clopidogrel therapy after drug-eluting stents implantation: Insights from the HMO Research Network-Stent Registry (HMORN-Stent). *Circulation: Cardiovascular*

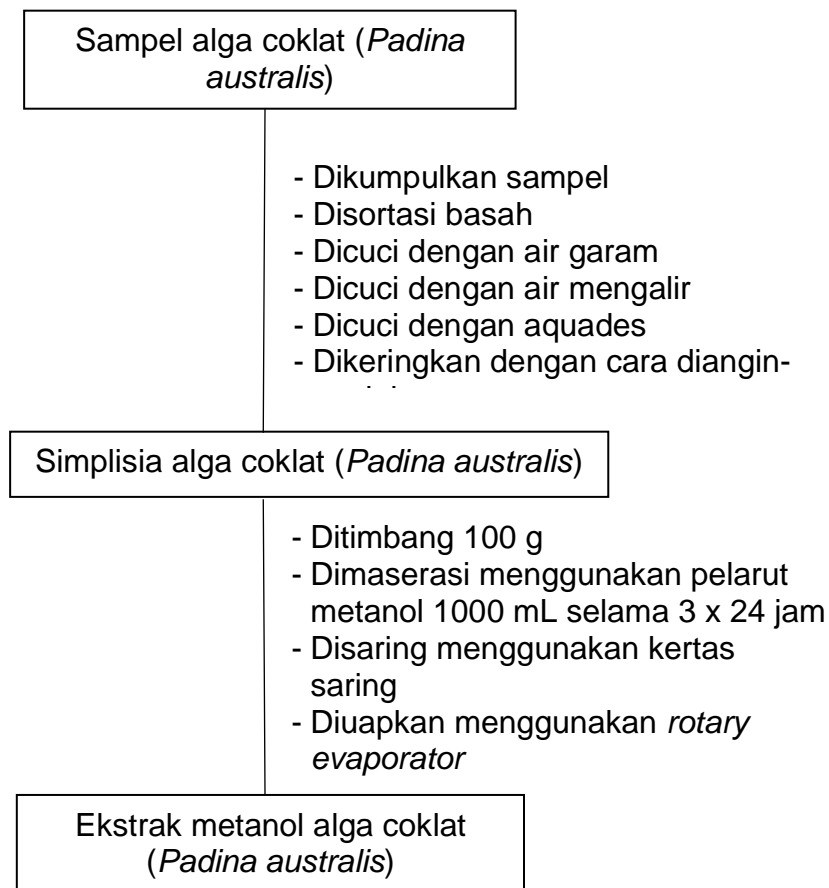
- Interventions*, 3(3), 230–235.  
<https://doi.org/10.1161/CIRCINTERVENTIONS.109.919001>
- Tsujino, T., Isobe, K., Kawabata, H., Aizawa, H., Yamaguchi, S., Kitamura, Y., Masuki, H., Watanabe, T., Okudera, H., Nakata, K., & Kawase, T. (2019). Spectrophotometric determination of the aggregation activity of platelets in platelet-rich plasma for better quality control. *Dentistry Journal*, 7(2). <https://doi.org/10.3390/dj7020061>
- Veronese, N., Demurtas, J., Thompson, T., Solmi, M., Pesolillo, G., Celotto, S., Barnini, T., Stubbs, B., Maggi, S., Pilotto, A., Onder, G., Theodoratou, E., Vaona, A., Firth, J., Smith, L., Koyanagi, A., Ioannidis, J. P. A., & Tzoulaki, I. (2020). Effect of low-dose aspirin on health outcomes: An umbrella review of systematic reviews and meta-analyses. *British Journal of Clinical Pharmacology*, 86(8), 1465–1475.  
<https://doi.org/10.1111/bcp.14310>
- Wecker, L. (2010). Brody's Human Pharmacology Molecular to Clinical. In *Human Pharmacology* (5th Editio). Mosby Elsevier.  
<https://doi.org/10.1201/9781482267976>
- Whalen, K. (2019). Lippincott Illustrated Reviews: Pharmacology (Lippincott Illustrated Reviews Series) SEVENTH EDITION. In S. Sharma & T. Velpandian (Eds.), *Journal of Chemical Information and Modeling* (Vol. 53, Issue 9).
- WHO. (2017). *Cardiovascular Disease's (CVDs)*. World Health Organization.  
[https://www.who.int/news-room/fact-sheets/detail/cardiovascular-diseases-\(cvds\)](https://www.who.int/news-room/fact-sheets/detail/cardiovascular-diseases-(cvds))
- Wijayanti, N., Sudjarwo, G. W., & Putra, O. N. (2020). Skrining Fitokimia Metabolit Sekunder Alga Cokelat (*Padina australis*) dari Kepulauan Poteran Madura Phytochemical screening of secondary metabolite

Padina australis from Poteran Island Madura 1Nani. *Journal of Pharmaceutical CAre Anwar Medika*, 2(2), 13–22.

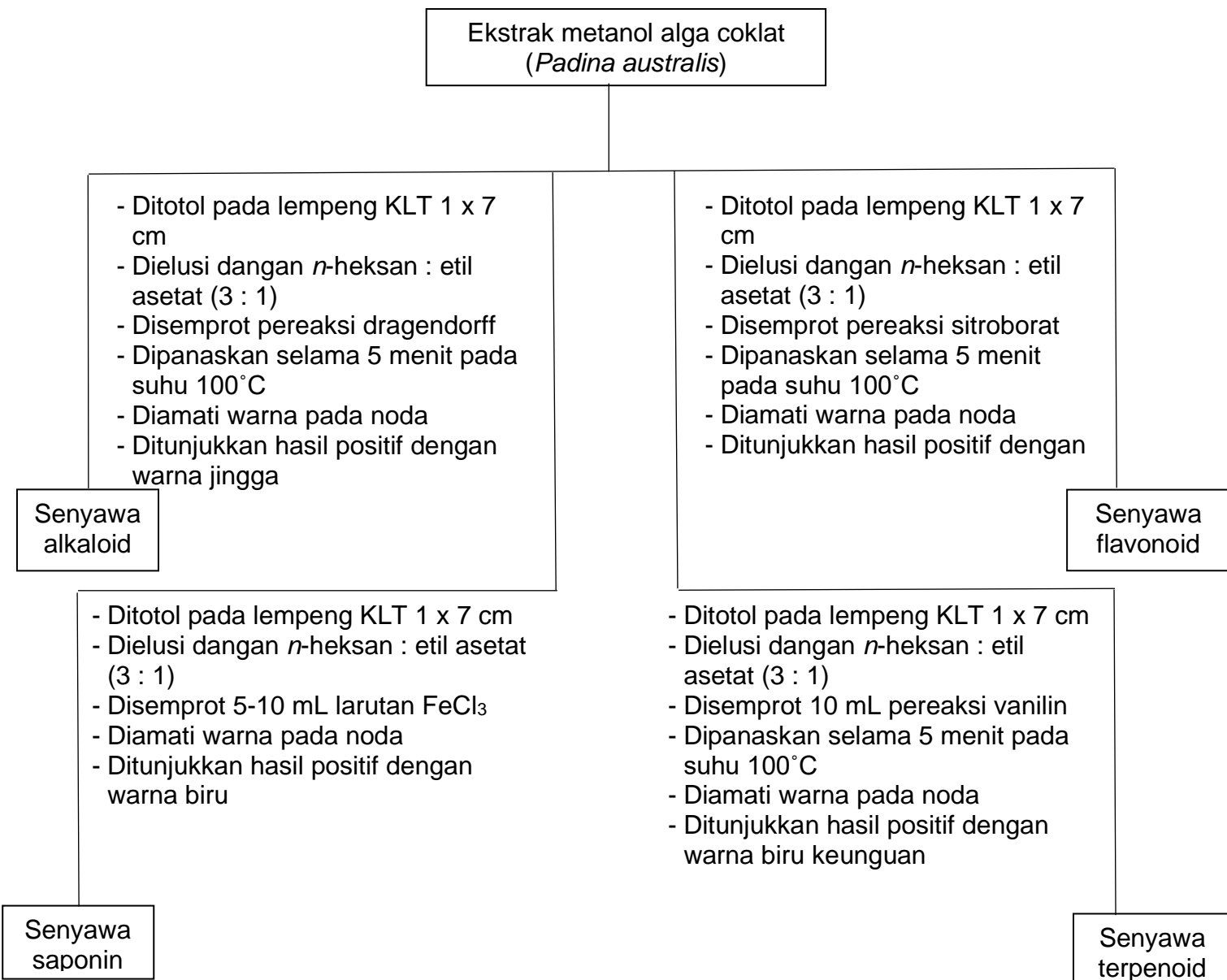
<https://doi.org/10.36932/jpcam.v2i2.25>

## LAMPIRAN

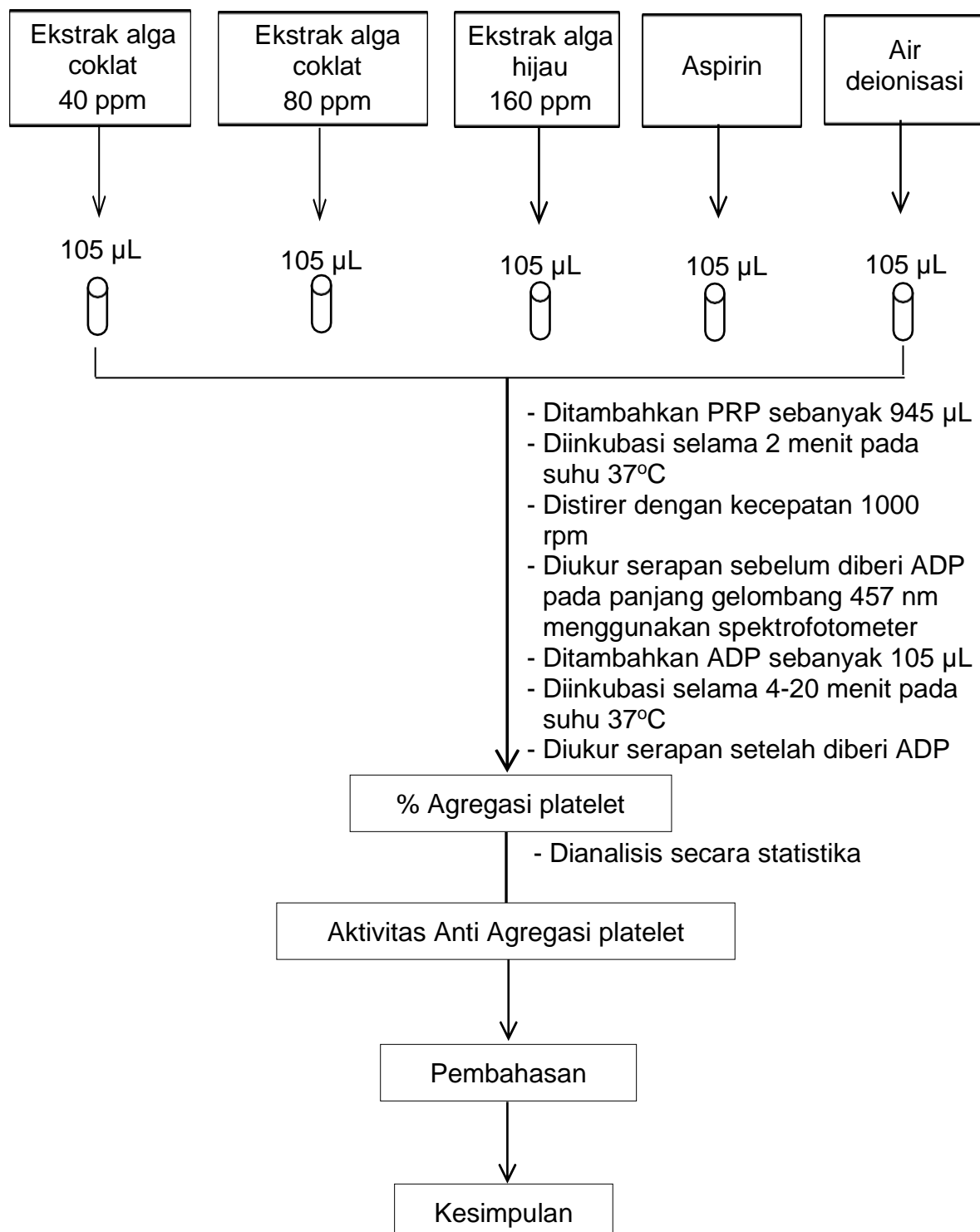
### Lampiran 1. Skema Penyiapan Simplisia dan Ekstraksi



### Lampiran 2. Skema Uji Pendahuluan



**Lampiran 3. Skema Uji Aktivitas Anti Agregasi Trombosit**



## Lampiran 4. Perhitungan

### Persen Rendemen Ekstrak

$$\% \text{Rendemen} = \frac{\text{Bobot ekstrak (g)}}{\text{Bobot awal (g)}} \times 100\%$$

$$\% \text{Rendemen} = \frac{3,76 \text{ (g)}}{100 \text{ (g)}} \times 100\%$$

$$\% \text{Rendemen} = 3,76\%$$

### Persen Agregasi Trombosit

#### a. Kontrol Positif (Larutan Aspirin)

$$\text{Replikasi 1 : } \frac{1 - B}{A} \times 100 \% = \frac{1 - 0,907}{0,959} \times 100 \% = 9,69 \%$$

$$\text{Replikasi 2 : } \frac{1 - B}{A} \times 100 \% = \frac{1 - 0,904}{0,954} \times 100 \% = 10,06 \%$$

$$\text{Replikasi 3 : } \frac{1 - B}{A} \times 100 \% = \frac{1 - 0,884}{0,959} \times 100 \% = 12,09 \%$$

#### b. Kontrol Negatif (Air deionisasi)

$$\text{Replikasi 1 : } \frac{1 - B}{A} \times 100 \% = \frac{1 - 0,493}{0,997} \times 100 \% = 50,85 \%$$

$$\text{Replikasi 2 : } \frac{1 - B}{A} \times 100 \% = \frac{1 - 0,369}{0,99} \times 100 \% = 63,73 \%$$

$$\text{Replikasi 3 : } \frac{1 - B}{A} \times 100 \% = \frac{1 - 0,351}{0,996} \times 100 \% = 65,16 \%$$

#### c. Ekstrak Uji 160 ppm

$$\text{Replikasi 1 : } \frac{1 - B}{A} \times 100 \% = \frac{1 - 0,772}{0,763} \times 100 \% = 29,88 \%$$

$$\text{Replikasi 2 : } \frac{1 - B}{A} \times 100 \% = \frac{1 - 0,769}{0,775} \times 100 \% = 29,80 \%$$

$$\text{Replikasi 3 : } \frac{1 - B}{A} \times 100 \% = \frac{1 - 0,760}{0,774} \times 100 \% = 31,00 \%$$

d. Ekstrak Uji 80 ppm

$$\text{Replikasi 1 : } \frac{1 - B}{A} \times 100 \% = \frac{1 - 0,769}{0,777} \times 100 \% = 29,73 \%$$

$$\text{Replikasi 2 : } \frac{1 - B}{A} \times 100 \% = \frac{1 - 0,771}{0,775} \times 100 \% = 29,54 \%$$

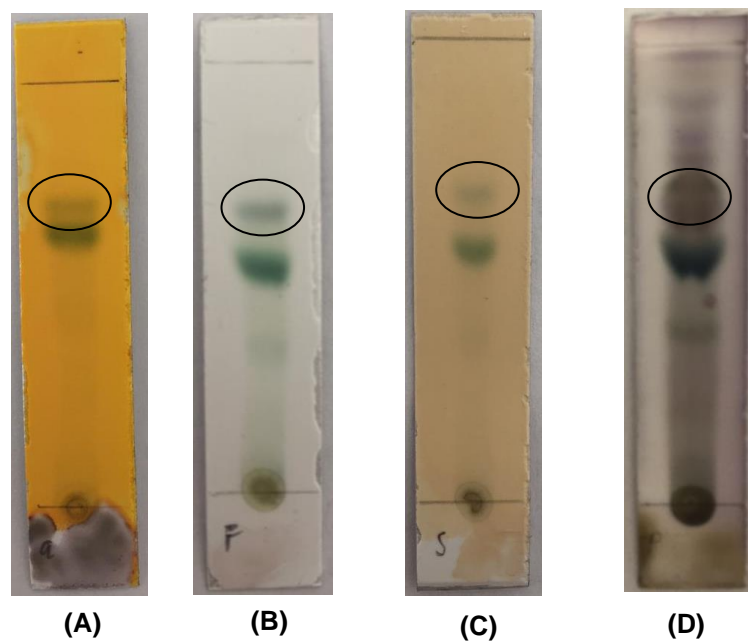
$$\text{Replikasi 3 : } \frac{1 - B}{A} \times 100 \% = \frac{1 - 0,762}{0,774} \times 100 \% = 30,74 \%$$

e. Ekstrak Uji 40 ppm

$$\text{Replikasi 1 : } \frac{1 - B}{A} \times 100 \% = \frac{1 - 0,766}{0,775} \times 100 \% = 30,19 \%$$

$$\text{Replikasi 2 : } \frac{1 - B}{A} \times 100 \% = \frac{1 - 0,772}{0,774} \times 100 \% = 29,45 \%$$

$$\text{Replikasi 3 : } \frac{1 - B}{A} \times 100 \% = \frac{1 - 0,778}{0,764} \times 100 \% = 30,33 \%$$

**Lampiran 5. Hasil Uji Pendahuluan**

**Gambar 3. Hasil pengujian identifikasi golongan senyawa metabolit sekunder**  
(A) uji alkaloid; (B) uji flavonoid; (C) uji saponin; (D) uji terpenoid

## Lampiran 6. Data Statistik

### Uji Normalitas Sapiro-Wilk

Sampel Uji	Kolmogorov-Smirnov <sup>a</sup>			Shapiro-Wilk		
	Statistic	df	Sig.	Statistic	df	Sig.
Kontrol Negatif	.353	3	.	.824	3	.172
Kontrol Positif	.332	3	.	.862	3	.274
Ekstrak 160 ppm	.364	3	.	.800	3	.114
Ekstrak 80 ppm	.342	3	.	.845	3	.228
Ekstrak 40 ppm	.361	3	.	.806	3	.129

### Uji One Way Anova

#### ANOVA

Persen Agregasi

	Sum of Squares	df	Mean Square	F	Sig.
Between Groups	3813.115	4	953.279	50.261	.000
Within Groups	189.664	10	18.966		
Total	4002.779	14			

## Uji Post-Hoc Tukey

### Multiple Comparisons

Dependent Variable: Persen Agregasi

Tukey HSD

		Mean	Std.		95% Confidence Interval	95% Confidence Interval
(I) Sampel Uji	(J) Sampel Uji	Difference (I-J)	Error	Sig.	Lower Bound	Upper Bound
Kontrol	Kontrol Positif	49.30333*	3.55588	.000	37.6006	61.0060
Negatif	Ekstrak 160 ppm	29.69000*	3.55588	.000	17.9873	41.3927
	Ekstrak 80 ppm	29.90000*	3.55588	.000	18.1973	41.6027
	Ekstrak 40 ppm	33.26000*	3.55588	.000	21.5573	44.9627
Kontrol Positif	Kontrol Negatif	-49.30333*	3.55588	.000	-61.0060	-37.6006
	Ekstrak 160 ppm	-19.61333*	3.55588	.002	-31.3160	-7.9106
	Ekstrak 80 ppm	-19.40333*	3.55588	.002	-31.1060	-7.7006
	Ekstrak 40 ppm	-16.04333*	3.55588	.008	-27.7460	-4.3406
Ekstrak 160 ppm	Kontrol Negatif	-29.69000*	3.55588	.000	-41.3927	-17.9873
	Kontrol Positif	19.61333*	3.55588	.002	7.9106	31.3160
	Ekstrak 80 ppm	.21000	3.55588	1.00	-11.4927	11.9127
	Ekstrak 40 ppm	3.57000	3.55588	.848	-8.1327	15.2727
Ekstrak 80 ppm	Kontrol Negatif	-29.90000*	3.55588	.000	-41.6027	-18.1973
	Kontrol Positif	19.40333*	3.55588	.002	7.7006	31.1060
	Ekstrak 160 ppm	-.21000	3.55588	1.00	-11.9127	11.4927
	Ekstrak 40 ppm	3.36000	3.55588	.873	-8.3427	15.0627
Ekstrak 40 ppm	Kontrol Negatif	-33.26000*	3.55588	.000	-44.9627	-21.5573
	Kontrol Positif	16.04333*	3.55588	.008	4.3406	27.7460
	Ekstrak 160 ppm	-3.57000	3.55588	.848	-15.2727	8.1327
	Ekstrak 80 ppm	-3.36000	3.55588	.873	-15.0627	8.3427

### Lampiran 7. Dokumentasi Penelitian



Gambar 4. Proses pengambilan sampel alga hijau (*Ulva lactuca*)



Gambar 5. Proses sortasi basah dan pencucian sampel



Gambar 6. Proses pengeringan sampel



Gambar 7. Proses penghalusan sampel



**Gambar 8. Penimbangan sampel**



**Gambar 9. Proses ekstraksi**



**Gambar 10. Penyaringan hasil maserasi**



**Gambar 11. Proses penguapan**



**Gambar 12. Ekstrak kental metanol alga coklat (*Padina australis*)**



**Gambar 13. Proses menotol pada lempeng KLT**



**Gambar 14.** Lempeng dielusi



**Gambar 15.** Pembuatan larutan ADP  $5 \mu\text{M}$



**Gambar 16.** Pembuatan larutan aspirin



**Gambar 17.** Pembuatan larutan uji (40 ppm, 80 ppm, 160 ppm)



**Gambar 18.** Proses inkubasi PRP sebelum dan setelah penambahan ADP



**Gambar 19.** Proses pengukuran agregasi trombosit

## Lampiran 8. Hasil Determinasi


**LABORATORIUM ILMU LINGKUNGAN DAN KELAUTAN  
DEPARTEMEN BIOLOGI  
FAKULTAS MATEMATIKA DAN ILMU PENGETAHUAN ALAM  
UNIVERSITAS HASANUDDIN, KAMPUS TAMALANREA  
JL. PERINTIS KEMERDEKAAN KM.10, MAKASSAR**

---

No : 878/ILK.BIO.13/PP/09/2020  
 Hal : Identifikasi Algae  
 Lamp : 3 Lembar

SURAT KETERANGAN

Yang bertanda tangan dibawah ini, menerangkan bahwa setelah mengkaji karakter sampel ganggang algae dan identifikasi maka terdapat tiga spesies yaitu :

**Alga Hijau (Chlorophyta)**  
 Sampel : Terima tanggal 08/09/2020  
 Kondisi sampel ; segar  
 1. Jenis : *Ulva lactuca*  
 Deskripsi :  
 Thallus berupa membran, lembaran pipih/tipis membentuk helaian/bistratoze. Melekat pada substrat keras di dasar perairan. Sangat mudah putus/lepas. Nama umum Sea lettuce (Selada laut).

**Alga Coklat (Phaeophyta)**  
 Sampel : Terima tanggal 08/09/2020  
 Kondisi sampel ; segar  
 1. Jenis : *Sargassum polycystum* C. Agardh  
 Deskripsi :  
 Tanaman cukup besar (dapat mencapai 40-60 cm), warna coklat, melekat pada substrat keras (karang misalnya). Stipula silindris, kaku, dapat tegak sepanjang thallus. Cabang utama kaku mengeluarkan cabang sekunder tumbuh selang-seling dan pada cabang ini terdapat daun. Thallus yang tua mempunyai sedikit daun dan kecil-kecil. Tepi daun bergerigi tidak beraturan. Tulang daun nyata, tumbuh sampai ujung daun. Tangkai vesikula oval, melekat banyak pada cabang tertier, tunggal atau bergerombol.

2. Jenis : *Padina australis* Hanch, 1887  
 Deskripsi :  
 Thallus terdiri dari beberapa helaian bentuk kipas/filament berwarna coklat. Ukuran filament ini sedikit lebih besar dibandingkan jenis lain dari *Padina*. Tepi luar filament menebal dan permukaan atas filament mempunyai garis konsentris warna putih. Organ pelekat (*holdfast*) bentuk discoid.

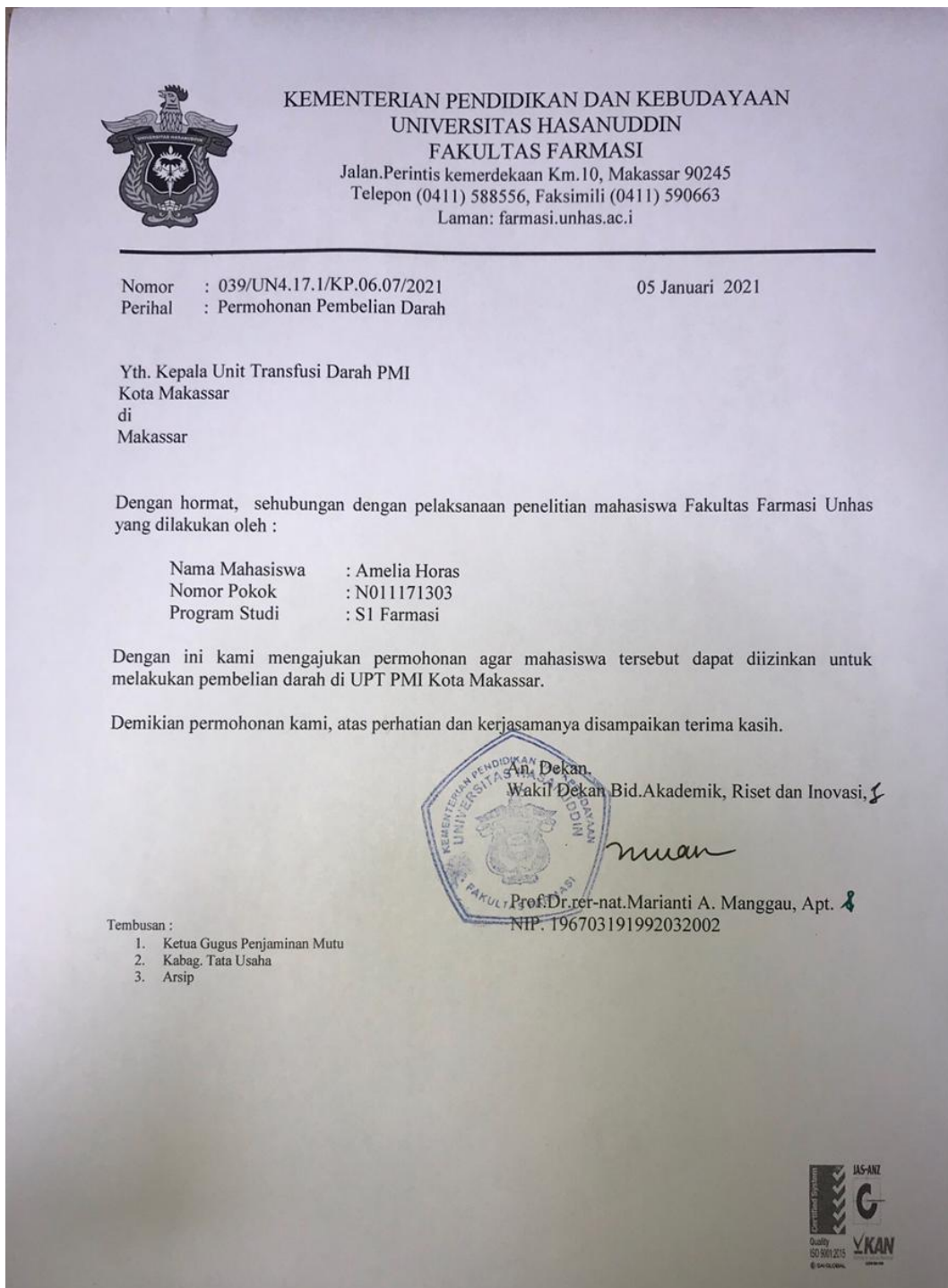
Makassar, 14 September 2020  
 Kepala,

  
**Dr. Magdalena Litaay, M.Sc**  
 NIP.19640929 198903 2 002

Tembusan :  
 1. Arsip

Scanned with CamScanner

## Lampiran 9. Permohonan Pembelian Darah PMI



## Perbaikan skripsi berdasarkan hasil seminar hasil

Saran	Perbaikan	Halaman	Keterangan
Penambahan lokasi pengambilan sampel sebagai faktor penyebab hasil negatif di uji pendahuluan fitokimia	Penjelasan lokasi tumbuh mempengaruhi kandungan metabolit sekunder	30	-
Penambahan hasil penelitian lain terkait hasil uji pendahuluan	Penambahan hasil penelitian terkait hasil uji pendahuluan	29	-
Penambahan DMSO sebagai peningkat kelarutan aspirin	Tidak digunakan DMSO sebagai peningkat kelarutan karena 8 mg aspirin larut dalam 100 ml air deionisasi	-	Kelarutan aspirin pada konsentrasi 80 ppm larut dalam air
Lokasi pengambilan sampel rujukan penelitian sebelumnya	Penambahan lokasi pengambilan sampel yang dijadikan rujukan (Latifah dkk, 2019) pada latar belakang penelitian	2	-
Pembahasan hasil uji pendahuluan	Pada identifikasi flavonoid terbentuk noda berwarna hijau, hal ini terjadi karena sitroborat akan berikatan dengan gugus ortho-hidroksi yang terdapat pada kebanyakan flavonoid membentuk ikatan kompleks sehingga dapat diduga ekstrak metanol alga coklat ( <i>Padina australis</i> )	29-30	
Penulisan nilai probabilitas	Berdasarkan hasil analisis <i>One Way Anova</i> diperoleh nilai probabilitasi sebesar kurang dari 0,05 yang menandakan terdapat perbedaan signifikan dari rata-rata	31	

Penghapusan gambar 2		32	
Penambahahan saran penelitian	perlu dilakukan metode identifikasi senyawa lain untuk memastikan kandungan senyawa dari ekstrak metanol alga coklat ( <i>Padina australis</i> ); perlu dilakukan validasi metode pengukuran agregasi trombosit atau melakukan pengukuran aktifitas agregasi trombosit dengan menggunakan instrumen aggregometer; perlu dilakukan uji keamanan terhadap penggunaan ekstrak ini;	34	